

บทที่ 4

ผลการวิจัย

4.1 การตรวจหาเชิงที่สั้นกระแสห่อ้อนไชม์บอยเซลลูโลสจากหอยสองฝา

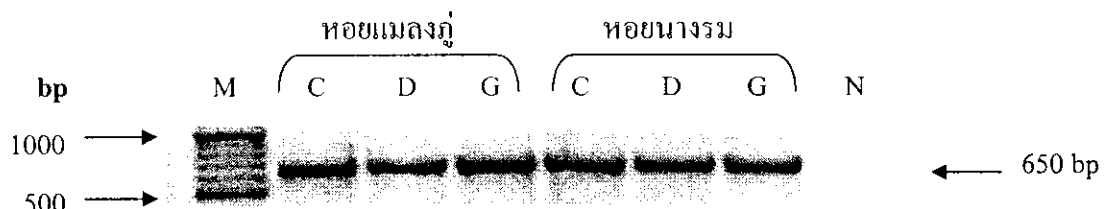
4.1.1 ผลการวิเคราะห์ลำดับเบสของยีนที่สั้นกระแสห์เบต้าแออกติน (internal control)

ภายในหลังน้ำอาร์เอ็นเอที่สักด้วยองค์เนื้อเยื่อหัวใจ ต่อมย่อยอาหาร และคริสตัลลีนส์ไทด์ของหอยแครง หอยแมลงภู่ หอยกะพง และหอยนางรมนาดครหัสแบบขั้นกลับให้เป็นซีดีเอ็นเอ โดยใช้ First Strand cDNA Synthesis Kit (Roche Applied Science) ด้วย random primer และทำการเพิ่มปริมาณซีดีเอ็นเอโดยใช้คู่ไฟร์เมอร์จำพวกกับยีนที่สั้นกระแสห์เบต้าแออกติน (mga_Actin-L และ mga_Actin-R) ซึ่งเป็นปฏิกริยาควบคุม พบแล็บดีเอ็นเอที่ได้ทั้งหมดมีขนาดประมาณ 650 bp ดังแสดงในภาพที่ 8 และภาพที่ 9



ภาพที่ 8 ผลผลิตพีซีอาร์บีเรเวณยีนเบต้าแออกตินขนาดประมาณ 650 bp ได้จากปฏิกริยาลูกโซ่

โพลีเมอร์สแตบลอดอร์หัสขั้นกลับ (RT-PCR) ของหอยกะพงและหอยแครงที่เตรียมจากเนื้อเยื่อบริเวณ คริสตัลลีนส์ไทด์ (C) ต่อมย่อยอาหาร (D) และเหงือก (G) หลังทำการโอลอเล็กโตร ไฟฟ์เรซิสความเข้มข้น 0.8% ที่ความต่างศักย์ 50 โวลต์เป็นเวลา 60 นาที เปรียบเทียบกับดีเอ็นเอมาตรฐาน 100 bp DNA ladder Plus (M)

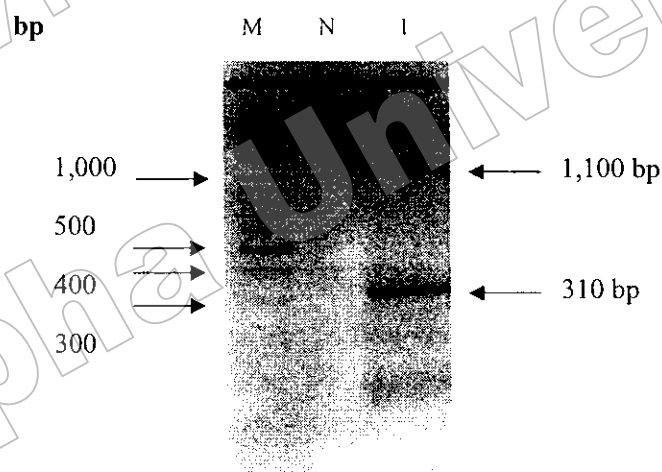


ภาพที่ 9 ผลผลิตพีซีอาร์บีเรเวณยีนเบต้าแออกตินขนาดประมาณ 650 bp ได้จากปฏิกริยาลูกโซ่

โพลีเมอร์สแตบลอดอร์หัสขั้นกลับ (RT-PCR) ของหอยแมลงภู่และหอยนางรมที่เตรียมจากเนื้อเยื่อบริเวณ คริสตัลลีนส์ไทด์ (C) ต่อมย่อยอาหาร (D) และเหงือก (G)

หลังทำการโรมเจลอิเล็กโทร โฟเรซิตความเข้มข้น 0.8% ที่ความด่างศักย์ 50 โวลต์เป็นเวลา 60 นาทีเปรียบเทียบกับดีเอ็นเอมาตรฐาน 100 bp DNA ladder Plus (M); N = negative control (เติม nucleic free water แทน cDNA)

4.1.2 ผลการวิเคราะห์ลำดับเบสของยีนที่สังเคราะห์出น ใช้มีเซลลูเลส การเพิ่มปริมาณซีดีเอ็นเอบางส่วนของยีนที่สังเคราะห์เซลลูเลส เกิดจากการใช้อาร์เอ็นเอ และซีดีเอ็นเอในชุดทดลองเดียวกันยืนที่สังเคราะห์เบต้าแอกติน แต่เปลี่ยนคู่ไพร์เมอร์เป็นยีนที่สังเคราะห์เซลลูเลส (GHF9_310-L และ GHF9_310-R) (Sakamoto et al., 2007) พบว่ามีเพียง cDNA บริเวณต่อมย่อยอาหารของหอยแครงเท่านั้นที่สามารถให้ผลผลิตพีซีอาร์มี 2 ขนาดคือประมาณ 1,100 คู่เบสและ 310 คู่เบส ดังแสดงในภาพที่ 10 และได้ทำการตัดແแทบดีเอ็นเอเฉพาะขนาด 310 คู่เบส เพื่อทำการหาลำดับเบสต่อไป เนื่องจากน้ำจะมีความจำเพาะมากกว่าແแทบดีเอ็นเอขนาด 1,100 คู่เบส



ภาพที่ 10 ผลผลิตพีซีอาร์ที่เพิ่มจำนวนบริเวณยีนเซลลูเลสด้วยคู่ไพร์เมอร์ GHF9_310 จากต่อมย่อยอาหารของหอยแครง ภายหลังทำการโรมเจลอิเล็กโทร โฟเรซิต ความเข้มข้น 0.8% ที่ความด่างศักย์ 50 โวลต์เป็นเวลา 60 นาที เปรียบเทียบกับดีเอ็นเอมาตรฐาน 100 bp DNA ladder Plus (M); N = negative control (เติม nucleic free water แทน cDNA)

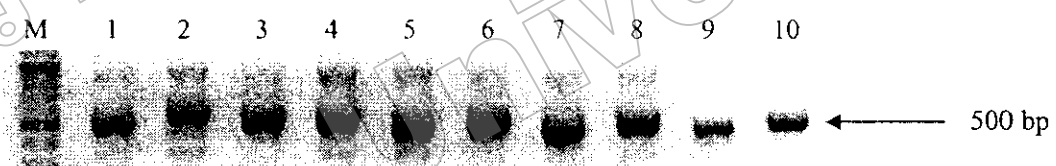
4.1.3 การโคลนผลผลิตพีซีอาร์

4.1.3.1 การเขื่อนต่อผลผลิตพีซีอาร์กับพลาสมิคเวกเตอร์ และการทราบส์ฟอร์เมชัน เมื่อนำชิ้นส่วนดีเอ็นเอของผลผลิตพีซีอาร์ของดีเอ็นเอของเบต้าแอกตินของหอยแครงที่มีขนาดประมาณ 650 bp (จากภาพที่ 8) ผลผลิตจากยีนสังเคราะห์出น ใช้มีเซลลูเลสที่มีขนาดประมาณ

310 (ภาพที่ 10) มาเชื่อมต่อกับพลาสมิดเวกเตอร์ pCR 2.1-TOPO ขนาด 3,931 bp พลาสมิดลูกผสมที่ได้ถ่ายผ้ากเข้าสู่เซลล์แบคทีเรีย *E. coli* TOP10F และนำไปเจริญบนอาหารแข็ง LB ที่มีส่วนผสมของยาปฏิชีวนะแอมพลิซิน และ X-gal ที่อุณหภูมิ 37 องศาเซลเซียส เป็นเวลา 16 ชั่วโมง พน.โคลนีสีขาว และสีขาวอมฟ้าซึ่งเป็นเซลล์แบคทีเรียที่มีพลาสมิดลูกผสมที่อาจได้รับการเชื่อมต่อ กับชิ้นซีดีเอ็นออยของเซลลูเลส นำมำไปทำการตรวจสอบพลาสมิดต่อไป

4.1.3.2 การตรวจสอบโคลนที่มีชิ้นส่วนของยีนในพลาสมิดลูกผสม โดยวิธีพีซีอาร์

ผลการตรวจสอบโคลนที่ได้รับชิ้นส่วนของยีน โดยใช้คู่ไพรเมอร์ M13 forward และ M13 reverse ในการทำพีซีอาร์ ชิ้นคู่ไพร์เมอร์นี้จะให้ขนาดของผลผลิตพีซีอาร์เพิ่มขึ้นจากขนาดของชิ้นดีเอ็นอที่เข้าไปเชื่อมต่อจากเดิมประมาณ 200 คู่เบส ทั้งนี้ทำการตรวจสอบโคลนแบบสุ่มของชิ้นส่วนของยีนที่สังเคราะห์เซลลูเลสในพลาสมิดลูกผสมพบว่าได้ແเกบดีเอ็นอขนาดประมาณ 500 คู่เบสดังแสดงในภาพที่ 11 ส่วนการตรวจสอบโคลนที่ได้รับชิ้นส่วนของยีนที่สังเคราะห์เบต้าແอกติน (CA) พบว่าได้ແเกบดีเอ็นอขนาดประมาณ 800 คู่เบส (ไม่ได้แสดงผล)



ภาพที่ 11 ผลผลิตพีซีอาร์จากการตรวจสอบโคลนที่มีส่วนของยีนเซลลูเลสจากตัวอย่างต่อตัวอย่างอาหารของหอยแครง โดยใช้ไพร์เมอร์ M13 forward และ M13 reverse จำนวน 10 ตัวอย่าง (1-10) เมริบันเทียบกับดีเอ็นเอมาตรฐาน 100 bp DNA ladder plus (M)

4.1.4 การวิเคราะห์ลำดับเบส

4.1.4.1 การวิเคราะห์ลำดับเบสยืนยันสังเคราะห์เบต้าແอกติน

เมื่อนำดีเอ็นอจากพลาสมิดลูกผสม โดยสุ่มเฉพาะจากโคลนที่เตรียมจากเนื้อเยื่อต่อตัวอย่างอาหารของหอยแครง ไปอ่านลำดับเบสโดยบริษัท First Base Laboratories SdnBhd (Malaysia) แล้วนำมาวิเคราะห์ลำดับเบส โดยใช้โปรแกรม Bioedit พบว่า ในส่วนของยีนที่สังเคราะห์เบต้าແอกตินของหอยแครงมีขนาด 631 คู่เบส เมื่อนำลำดับเบสเปรียบเทียบความเหมือนกับนิวคลีโอไทด์ของสิ่งมีชีวิตอื่นๆ ที่มีการบันทึกไว้ในฐานข้อมูล GenBank (<http://www.ncbi.nlm.nih.gov/>) โดยใช้โปรแกรม blastn พบว่ามีความเหมือนสูงถูกกันเข้ม-ar เอ็นเอของเบต้าແอกตินของหอยเมลงกุ้ม Mediterranean

mussel (*Mytilus galloprovincialis*) โดยมีค่าเบปอร์เซ็นต์ความเหมือน (% homology) เท่ากับ 89% เมื่อเปรียบเทียบ 568 คู่เบสและ 87% กับยีนเบต้าแอกตินของหอยเชลล์และหมึก ดังแสดงในตารางที่ 1

ตารางที่ 1 เปรียบเทียบความเหมือนของลำดับเบสซึ่ดีเอ็นเอของเบต้าแอกตินของหอยแครงจำนวน 631 คู่เบสกับสิ่งมีชีวิตบางชนิดที่บันทึกไว้ในฐานข้อมูล GenBank โดยใช้โปรแกรม nucleotide blast

ชนิดของสิ่งมีชีวิต	ผลการวิเคราะห์ยืนในฐานข้อมูล GenBank	GenBank รหัสหมายเลข	จำนวนเบส ที่เทียบเคียง	ความ เหมือน (%)
<i>Mytilus galloprovincialis</i>	Actin	AF157491	568 / 635	89
<i>Pecten maximus</i>	Actin	AF494455	555 / 636	87
<i>Octopoteuthis nielseni</i>	Actin	AF234955	554 / 635	87

4.1.4.2 การวิเคราะห์ลำดับเบสของยีนสัมเคระห์เซลล์ลูเดส

การวิเคราะห์ลำดับเบสในส่วนของยีนที่สัมเคระห์เซลล์ลูเดสจากพลาสมิคลูกผสมที่ได้จากต่อมย่อยอาหารของหอยแครง พบร่วมมิenaries 235 bp และเปลี่ยนเป็นลำดับของกรดอะมิโน (โปรแกรม BCM search luncher) ได้จำนวน 78 กรดอะมิโน ดังแสดงในภาพที่ 12

```

1 TAT GAT GCG CGG GAT TAT GTC AAG TTT AAT CTT CCA ATG TCG TCT
Y D A R D Y V K F N L P M S S
46 TCT ACA ACC GTT TTA TTG TGG GGT CTA ACA AAA TGG AAG GAT GGT
S T T V L L W G L T K W K D G
91 TAT GAA GCT GCT GGA CAG TTG GAC ATG ATG TAT GAC ATG ATT AGG
Y E A A G Q L D M M Y D M I R
136 TGG CCC TTG GAA TAT TTC TTA AAA TGT TGG AGA CCA CAA CAA CAA
W P L E Y F L K C W R P Q Q Q
181 GAA TAT TAC GTA CAG GTA TCT ATA AGC AGA GTT GCA ACG AGG TTG
E Y Y V Q V S I S R V A T R L
226 CCT GCG ACT A
P A T

```

ภาพที่ 12 ลำดับนิวคลีโอไทด์ (ແດວນ) และกรดอะมิโน (ແດວล่าง) ของยีนไซม์เซลล์ลูเดสของหอยแครงจำนวน 253 คู่เบส

เมื่อทำการวิเคราะห์เปรียบเทียบความเหมือนของลำดับนิวคลีโอไทด์เปลี่ยนเป็นลำดับกรด

อะมิโนของยีนที่สังเคราะห์เซลลูเลสจากหอยแครงกับข้อมูลที่บันทึกไว้ในฐานข้อมูล GenBank โดยใช้โปรแกรม tblastn พบร่วมค่าเบอร์เซ็นต์ความเหมือนสูงสุด (% homology) เท่ากับ 68% กับอีก 1 ชิ้นของ *CjCel9A* ซึ่งเป็นoen ใช้มีเซลลูเลสในหอยสองฝา *Corbicula japonica* (GenBank accession No. AB264777) ที่เปรียบเทียบกันได้จำนวน 67 กรดอะมิโน แสดงดังตารางที่ 2 และรายละเอียดของ การเปรียบเทียบกรดอะมิโนกับสิ่งมีชีวิตชนิดอื่น เช่น *Corbicula japonica* (AB264777), *Haliotis discus* (AB092978), *Biomphalaria glabrata* (AY651250), *Neoterpes koshunensis* (BAD12006), *Coptotermes formosanus* (AB058668), *Cherax quadricarinatus* (AF148497), *Arabidopsis thaliana* (AAC27459), *Oryza sativa* (BAB92772), *Phanerochaete chrysosporium* (AAM22492), *Cryptococcus neoformans* (AAW44965), uncultured bacterium from *Nasutitermes* (ABW39322), *Coptotermes lacteus symbiont* (BAC07551) และ *Aeromonas hydrophila* (BAF75999) ดังแสดงในภาพที่ 13 นอกจากนี้ยังสามารถนำผลการเปรียบเทียบนี้วิเคราะห์เพิ่มเติมและสร้างแผนภูมิ ความสัมพันธ์ (phylogenetic tree) ระหว่างลำดับกรดอะมิโนของoen ใช้มีเซลลูเลสของหอยแครง (CDG4) กับoen ใช้มีเซลลูเลสที่พบได้ในสิ่งมีชีวิตชนิด โดยพบว่าoen ใช้มีเซลลูเลสของหอยแครง (CDG4) ถูกจัดเข้ากลุ่ม ไว้กับoen ใช้มีเซลลูเลสของหอย 3 ชนิดคือ *Corbicula japonica*, *Haliotis discus* และ *Biomphalaria glabrata* ส่วนoen ใช้มีเซลลูเลสของสิ่งมีชีวิตชนิดอื่นๆ ถูกจัดไว้นอกกลุ่ม ดังแสดงในภาพที่ 14

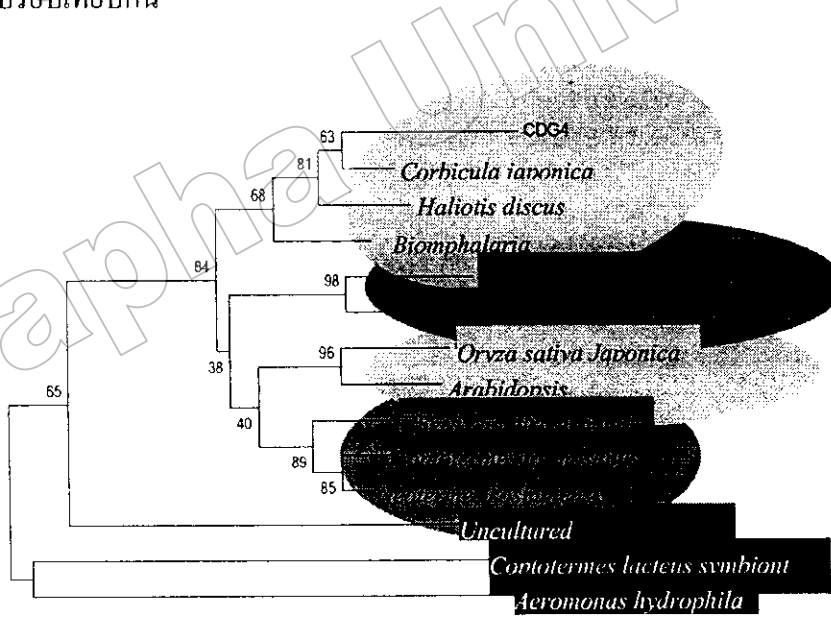
ตารางที่ 2 เปรียบเทียบความเหมือนของลำดับกรดอะมิโนที่แปลรหัสมาจากชีดีเอ็นของยีน เซลลูเลสของหอยแครงจำนวน 78 กรดอะมิโนกับลำดับกรดอะมิโนของสิ่งมีชีวิตบางชนิด ที่บันทึกไว้ในฐานข้อมูล GenBank โดยใช้โปรแกรม tblastn

ชนิดของสิ่งมีชีวิต	ผลการวิเคราะห์ยีนในฐานข้อมูล GenBank	Genbank รหัสหมายเลข	จำนวน กรดอะมิโนที่เทียบเคียง	ความ เหมือน (%)
<i>Corbicula japonica</i>	Cellulase	AB264777	46/ 67	68
<i>Haliotis discus</i>	endo-1,4-beta D-glucanase 2	EF103351	46/ 71	64
<i>Biomphalaria glabrata</i>	beta-1,4-endoglucanase	AY651250	36/ 67	53

	10	20	30	40	50	60	70	80
CDG4	DARDYVKFNL	PMSSSTIVLL	W-GLTKWKDG	YE-----A	AGQLDWMYDM	IRWPLEYFLK	CWRP--QQQE	YYVQVSISRV
<i>Corbicula japonica</i>	..G.N.....AF..W..E	Y..ML.F...Q.....AC..K.....	..V..ESNT	L...GDGGQ	DHSFWGR		
<i>Haliotis discus</i>	..G.M...S....TS....	..YLQ..A..A.....T	TK.T..PF..K...D...	..I..KS.T	L.A..GEGND	DHMFWGR		
<i>Biomphalaria glabrata</i>	..G.H...F..AY..I.T..	SYLLYA.A.....S	..T.S.L.C.K..D.I..	..HY--XPM.	L.I..GDGGQ	DNGYWGP		
<i>Neotermes koshunensis</i>	..G.....GF..AYTA..A..	..VYVQAA.S.....	..A..DGRKA	VK.ATD...	AHV--SAM.	L.G..GECCP	DHATWGR	
<i>Coptotermes formosanus</i>	..G.F...GF..AYTV...A..	..VDYESA.S.....	T..A..DGRKA	LK.GTD...	AHT--AAM.	F.G..GQGD	DHATWGR	
<i>Cherax quadricarinatus</i>	..G.M...GF..AFTA.M.A..	..QIDPAW..HS.....	K...TSYGHAA	LK.ATD...	AHT--ATW.	F.G..GEGNT	DHATWGR	
<i>Arabidopsis thaliana</i>	..G.HM..GF..LAFT..M.A..	..SSVEMESQ	LK.....HQENGWTILAA	L..ATD.LI..	AHP--EPHV	L.G..GDAM	DHACWGR	
<i>Oryza sativa</i>	..G.HM..GF..LAF.M.M.A..	..SVVEFGGL	MK.....G	EL.MAR--A.V..GSD.L..	ATA--NPDT	V..GDAN	DHACWGR	
<i>Phanerochaete chrysosporium</i>	..G..I.YT..F.VMSIC..	..ALDYGK..D.....	I..N.TAYLD..L..S.DWLM..	AHP--DPNT	L...GDADL	DHATWGR		
<i>Cryptococcus neoformans</i>	..G..I.ATF..L.FTLFA.S..	..ALTHGQ..G.....	L..N.TAYLDGT	L..GFDWLM..	AHP--SDDV	LPI..GSCL	DHATWGR	
uncultured bact. from termite	..G..GRYTA..AAATLGHM..	..Y-STEFFPGA	FKDELWIPES	GNGVPDILNE	C.YE..W..M..	EDGG	V..HK..ATRYP	SGFIMPQ
<i>Coptotermes lacteus symbiont</i>	..G..AL.TVEMA	AEGK..PGGV	Y..YGYCDAM	CVX..GGCCME	FDIQEAASKA..	WITTMSCQS	QTGGCDTSGC	G..WPHRD..W..DHAFWGQ
<i>Aeromonas hydrophila</i>	QED..HILLET..LVAAGS..PG..Q.RHY.RAD	FS---APTE	P..HYRLEAVV	TTEAQ..RLVR	SPP..FADRG	LLARCR.L.D..	IMTYKGQ	
Clustal Consensus	:	:	:	:	:	:	:	:

ภาพที่ 13 การจัดเรียงและเปรียบเทียบความเหมือนของลำดับกรดอะมิโนของเซลลูเลสของหอยแครง (CDG4) กับสิ่งมีชีวิตอื่นๆ โดยใช้โปรแกรม ClustalX โดยสัญลักษณ์(.) แสดงลำดับเบสที่ที่เหมือนกันแต่ละไว้ ตัวเลขข้างบนแสดงตำแหน่งแต่ละจำนวนของลำดับเบสที่เปรียบเทียบกันตามลำดับ

หมายเหตุ สัญลักษณ์สีน้ำเงิน (-) แสดงไม่มีลำดับเบสในตำแหน่งนั้น จุด(.) แสดงลำดับเบสที่เหมือนกันแต่ละไว้ในที่นี้ ส่วนตัวเลขค้านบนแสดงตำแหน่งลำดับเบสของตัวอย่างที่นำมาเปรียบเทียบกัน



ภาพที่ 14 แผนภูมิความสัมพันธ์ของกรดอะมิโนสำหรับเอ็นไซม์เซลลูเลสที่พบในหอยแครง (CDG4)

ถูกจัดเข้ากลุ่มไว้กับเอ็นไซม์เซลลูเลสของหอย 3 ชนิดคือ *Carbicula japonica*, *Haliotis discus* และ *Biomphalaria glabrata* ส่วนเอ็นไซม์เซลลูเลสของสิ่งมีชีวิตชนิดอื่นๆ ถูกจัดไว้นอกกลุ่มนี้ ใช้โปรแกรม MEGA4 สร้างแผนภูมิด้วยวิธี Neighbor-Joining (NJ) จากการ bootstrap ข้อมูล 1,000 ครั้ง

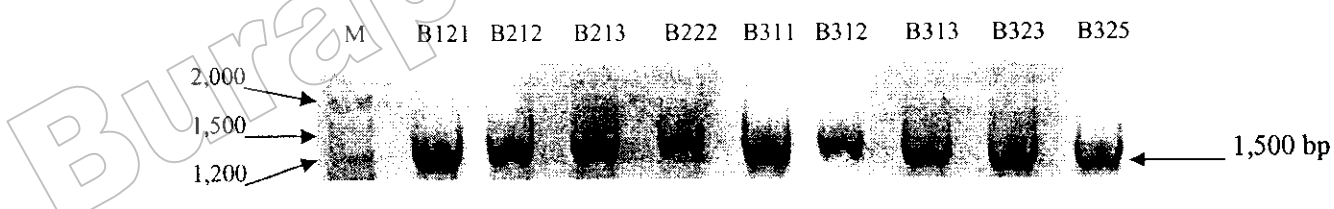
4.2 การวิเคราะห์ชนิดของแบคทีเรียที่อัดยั่งร่วมกับหอยแครงจากลำดับนิวคลีโอไทด์ของยีน 16S rRNA

4.2.1 การเพาะเลี้ยงและคัดเลือกแบคทีเรีย

หลังจากเจริญแบคทีเรียที่แยกได้จากต่อมย่อยอาหารของหอยแครงบนอาหารเลี้ยงเชื้อ ZoBell Agar ร่วมกับกระดาษกรองที่อุณหภูมิห้องเป็นเวลา 3 วัน พนแบคทีเรียนบนอาหารเลี้ยงเชื้อชนิดนี้เป็นจำนวนมาก แต่ส่วนคัดแยกแบคทีเรีย โดยการสังเกตลักษณะของโคลoni ที่แตกต่างกัน ได้แบคทีเรียที่เป็นตัวแทนจำนวน 23 โคลoni ทั้งหมดนี้ถูกนำมาเจริญบนอาหาร Cellulose agar บ่มที่อุณหภูมิห้องเป็นเวลา 3 วันพบว่ามีแบคทีเรียที่สามารถเจริญบนอาหารเลี้ยงเชื้อนี้จำนวน 12 โคลoni จึงทำการแยกเชื้อแบคทีเรียเหล่านี้ให้เป็นโคลoni เดียวเพื่อสกัดดีเอ็นเออต่อไป

4.2.2 ผลการวิเคราะห์ลำดับเบสของยีน 16S rRNA

ทำการเพิ่มจำนวนดีเอ็นเอที่สกัดได้จากแบคทีเรียที่สามารถเจริญบนอาหารเชิง cellulose agar จำนวน 12 โคลoni ด้วยเทคนิค PCR ในบริเวณยีน 16S rRNA โดยใช้ไพรเมอร์ 27F/1492R ได้ผลผลิต PCR ที่มีขนาดประมาณ 1,500 bp ในทุกตัวอย่าง (ภาพที่ 15, แสดงผลเพียง 9 ตัวอย่าง แต่ละช่องคือแบคทีเรียแต่ละโคลoni) ภายหลังวิเคราะห์ลำดับเบสพบว่าสามารถอ่านได้ชัดเจนประมาณ 758-900 คู่เบส จากนั้นจึงเปรียบเทียบกับข้อมูลของลำดับนิวคลีโอไทด์ที่บันทึกไว้ในฐานข้อมูล GenBank โดยใช้โปรแกรม nucleotide blast พบร่วมแบคทีเรียที่คัดเลือกได้แต่ละโคลoni มีความเหมือนสูงสุดกับนิวคลีโอไทด์ของสกุล *Vibrio* เท่ากับ 99-84% ดังแสดงในตารางที่ 3

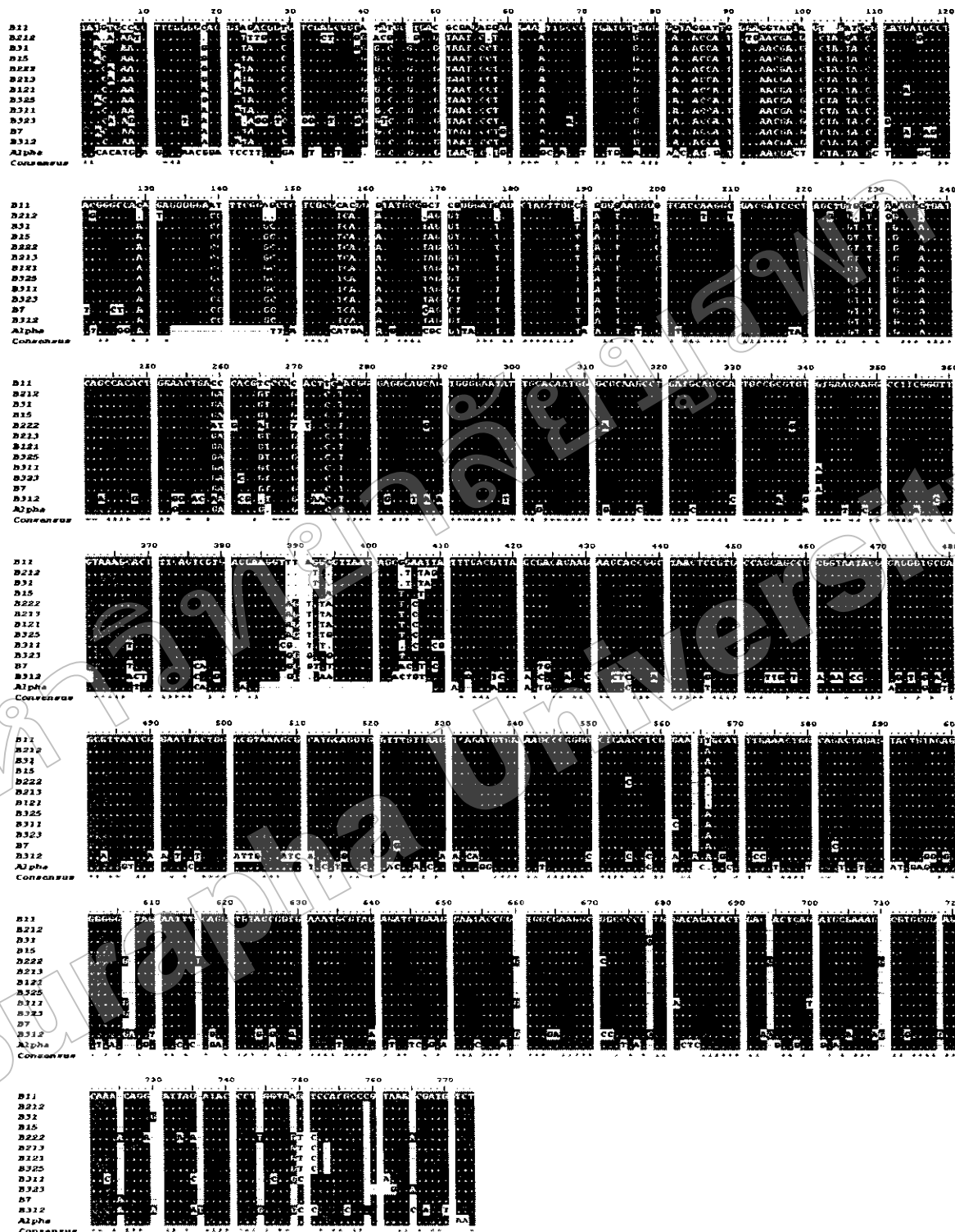


ภาพที่ 15 ผลผลิต PCR ของแบคทีเรียแต่ละโคลoni ที่เพิ่มจำนวนบริเวณยีน 16S rRNA ขนาดประมาณ 1,500 คู่เบส ภายหลังทำอิเล็ก tro ไฟฟ์เรซิสท์ความเข้มข้น 0.8% ความต่างศักย์ 80 โวลต์ เป็นเวลา 45 นาที (M คือ ดีเอ็นเอมาตรฐาน 100 bp ladder plus)

ตารางที่ 3 เปรียบเทียบลำดับนิวคลีโอไทด์ของผลผลิต PCR บริเวณ 16S rRNA ของแบคทีเรียที่อยู่ร่วมกับหอยแครงกับลำดับนิวคลีโอไทด์ของแบคทีเรียสกุล *Vibrio* ที่บันทึกไว้ในฐานข้อมูล GenBank

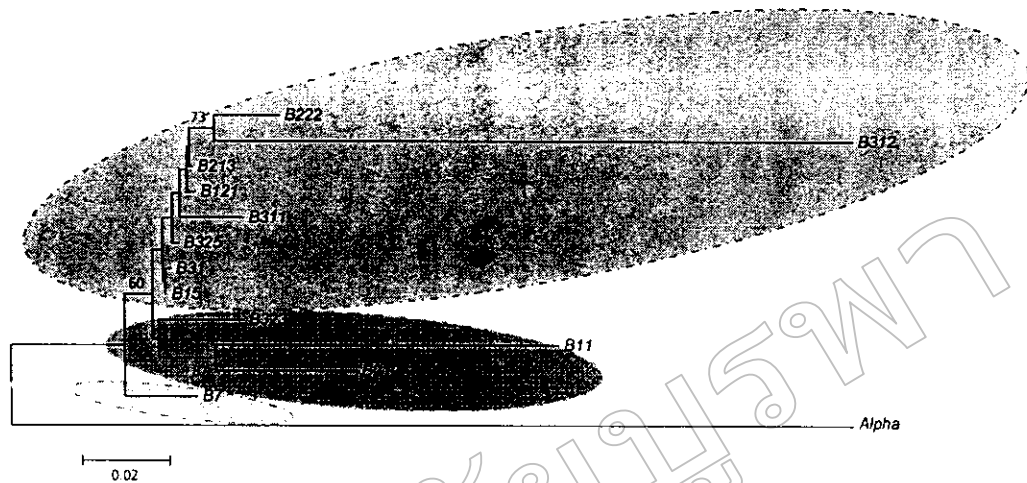
รหัสแบคทีเรีย	ผลการวิเคราะห์ด้วยยีน 16S rRNA	GenBank รหัสหมายเลข	จำนวนลำดับเบสที่เทียบเคียง	ความแม่นยำ (%)
B7	<i>Vibrio shilonii</i> strain VSS-012	FJ485944	886/ 899	98
B11	<i>Vibrio</i> sp. HN11	EU077544	683/ 751	90
B15	<i>Vibrio natriegens</i> strain WT01	FJ171336	882/ 890	99
B121	<i>Vibrio</i> sp. S428	FJ457593	890/ 892	99
B212	<i>Vibrio natriegens</i>	FJ171336	846/ 880	96
B213	<i>Vibrio</i> sp. KYJ 962	AY542526	886/ 893	99
B222	<i>Vibrio parahaemolyticus</i>	DQ068942	864/ 907	95
B311	<i>Vibrio</i> sp. HS1	EU086102	858/ 891	96
B312	<i>Vibrio</i> sp. C22-B	EU563342	775/ 921	84
B31	<i>Vibrio</i> sp. Y4tang	EF187013	874/ 898	97
B323	<i>Vibrio</i> sp. CJ11052	AF500207	829/ 857	96
B325	<i>Vibrio pelagius</i>	X74722	890/ 894	99

เมื่อทำการเปรียบเทียบลำดับนิวคลีโอไทด์ของแบคทีเรียที่แยกออกจากต่อมย่อยอาหารของหอยแครงซึ่งบ่งชี้ได้เป็นสกุล *Vibrio* ทั้งหมดนั้นสามารถเทียบเคียงในตำแหน่งเดียวกันได้จำนวน 758 คู่เบสโดยใช้โปรแกรม ClustalX ซึ่งผลจากการเทียบเคียงพบว่าแบคทีเรียทั้ง 12 โภคโน้นนั้นมีลำดับนิวคลีโอไทด์แตกต่างกัน (ภาพที่ 16) และเมื่อนำผลการเปรียบเทียบนี้วิเคราะห์เพิ่มเติมโดยสร้างแผนภูมิความสัมพันธ์ (phylogenetic tree) ระหว่างลำดับนิวคลีโอไทด์ของแบคทีเรียที่จำแนกได้โดยใช้ *Alpha proteobacterium* (accession no. DQ097263) เป็น out group พบร่วมสามารถจัดจำแนกแบคทีเรียสกุล *Vibrio* ทั้ง 12 สายพันธุ์ออกเป็น 3 กลุ่ม ดังแสดงในภาพที่ 17 คือ 1) B222, B312, B311, B213, B121, B311, B325, B31 และ B15, 2) B323, B11 และ B212, และ 3) B7



ภาพที่ 16 เปรียบเทียบลำดับนิวคลีโอไทด์ของแบคทีเรียสกุล *Vibrio* จำนวน 12 สายพันธุ์ที่แยกจากต่อมย่อยอาหารหอยแครง

หมายเหตุ สัญลักษณ์เส้นประ (-) แสดงไม่มีลำดับเบสในตำแหน่งนั้น จุด (.) แสดงลำดับเบสที่เหมือนกันแต่ละไว้ในที่ส่วนตัวเลขด้านบนแสดงตำแหน่งตัวอักษรที่นำมาเปรียบเทียบกัน



ภาพที่ 17 แผนภูมิความสัมพันธ์ของลำดับเบส 16S rRNA ของ *Vibrio* sp. จำนวน 12 สายพันธุ์ที่แยกได้จากต่อมย่อยอาหารของหอยแครง โดยใช้ *Alpha proteobacterium* (accession no. DQ097263, *Alpha*) เป็น outgroup สร้างแผนภูมิด้วยโปรแกรม MEGA4.0 ด้วยวิธี Neighbor-Joining (NJ) จากการ bootstrap ข้อมูล 1,000 ครั้งและแสดงค่ามากรกว่า 50%